

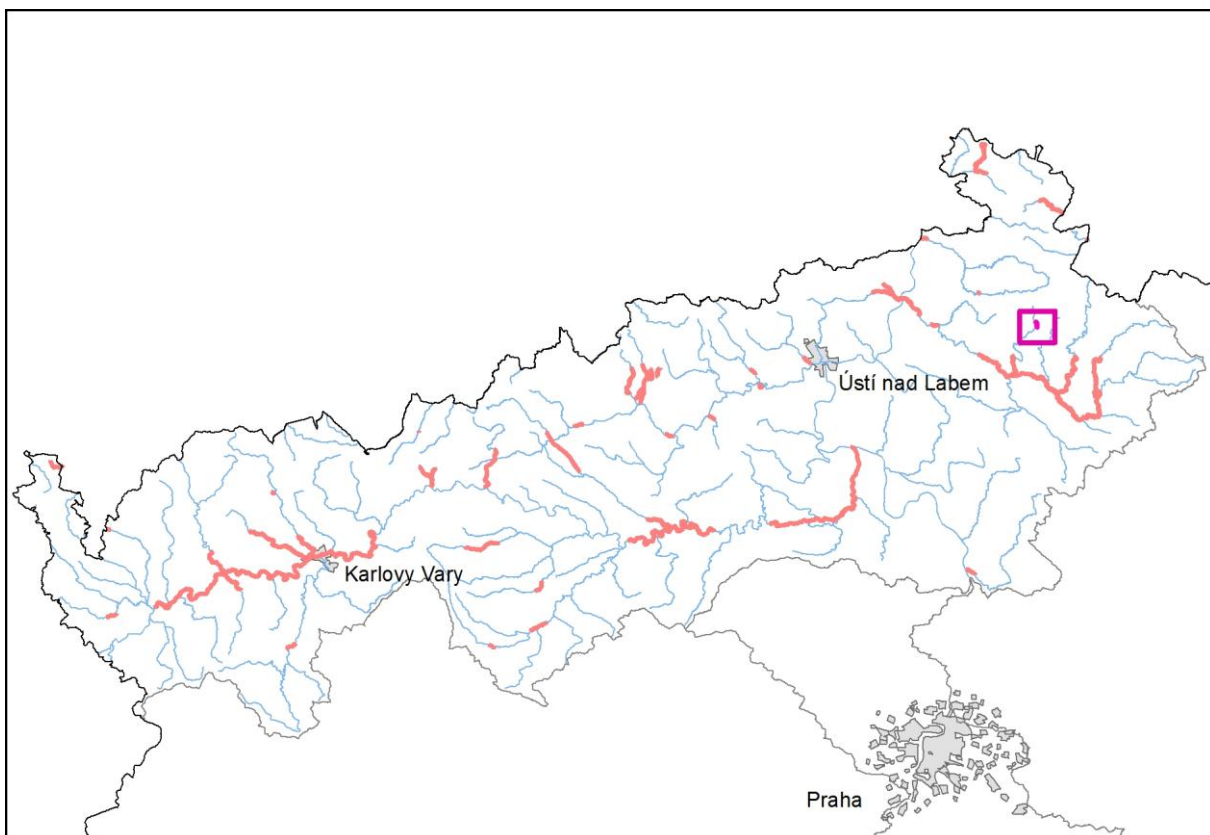


# ZPRACOVÁNÍ MAP POVODŇOVÉHO NEBEZPEČÍ A POVODŇOVÝCH RIZIK PRO OBLAST POVODÍ OHŘE A DOLNÍHO LABE

DÍLČÍ POVODÍ OHŘE, DOLNÍHO LABE A OSTATNÍCH PŘÍTOKŮ LABE

## B. TECHNICKÁ ZPRÁVA – HYDRODYNAMICKÉ MODELY A MAPY POVODŇOVÉHO NEBEZPEČÍ

ŠPORKA – 10100280\_2 - Ř. KM 18,800 – 19,800



listopad 2013





OPERAČNÍ PROGRAM  
ŽIVOTNÍ PROSTŘEDÍ



EVROPSKÁ UNIE  
Fond soudržnosti

Pro vodu,  
vzduch a přírodu

# ZPRACOVÁNÍ MAP POVODŇOVÉHO NEBEZPEČÍ A POVODŇOVÝCH RIZIK PRO OBLAST POVODÍ OHŘE A DOLNÍHO LABE

## DÍLČÍ POVODÍ OHŘE, DOLNÍHO LABE A OSTATNÍCH PŘÍTOKŮ LABE

### B. TECHNICKÁ ZPRÁVA – HYDRODYNAMICKE MODELY A MAPY POVODŇOVÉHO NEBEZPEČÍ

ŠPORKA – 10100280\_2 - Ř. KM 18,800 – 19,800

Pořizovatel:



Povodí Ohře

Povodí Ohře, státní podnik  
Bezručova 4219  
Chomutov  
430 03

Zhotovitel: sdružení „HYDROPROJEKT + Hydrossoft + AZ Consult“



Sustainable engineering and design

Sweco Hydropunkt a.s.  
Táborská 31  
Praha 4  
140 16



HYDROSOFT Veleslavín s.r.o.  
U Sadu 13/62  
Praha 6  
162 00



AZ Consult, spol. s r.o.  
Klíšská 12  
Ústí nad Labem  
400 01



OPERAČNÍ PROGRAM  
ŽIVOTNÍ PROSTŘEDÍ



EVROPSKÁ UNIE | Pro vodu,  
Fond soudržnosti vzduch a přírodu

**Řešitel:**



HYDROSOFT Veleslavín s.r.o.

U Sadu 13/62

Praha 6

162 00



Sustainable engineering and design

Sweco Hydroprojekt a.s.

Táborská 31

Praha 4

140 16

V Praze, listopad 2013

**Obsah:**

|          |   |           |
|----------|---|-----------|
| <b>1</b> | <b>Základní údaje</b>   | <b>7</b>  |
| 1.1      | Seznam zkratek a symbolů  | 7         |
| 1.2      | Cíle prací  | 7         |
| 1.3      | Předmět práce   | 7         |
| 1.4      | Postup zpracování a metoda řešení   | 7         |
| <b>2</b> | <b>Popis zájmového území</b>  | <b>9</b>  |
| 2.1      | Všeobecné údaje   | 10        |
| 2.2      | Průběhy historických povodní (největší zaznamenané povodně)                                 | 10        |
| <b>3</b> | <b>Přehled podkladů</b>   | <b>11</b> |
| 3.1      | Topologická data  | 11        |
| 3.1.1    | Vytvoření (aktualizace) DMT   | 11        |
| 3.1.2    | Mapové podklady   | 11        |
| 3.1.3    | Geodetické podklady   | 12        |
| 3.2      | Hydrologická data   | 12        |
| 3.2.1    | Hydrologické poměry a jejich interpretace ve výpočtovém modelu                              | 13        |
| 3.3      | Místní šetření  | 13        |
| 3.4      | Doplňující podklady – technické a provozní informace, zprávy, studie, dokumenty, literatura | 14        |
| 3.5      | Normy, zákony, vyhlášky   | 14        |
| 3.6      | Vyhodnocení a příprava podkladů   | 14        |
| <b>4</b> | <b>Popis koncepčního modelu</b>   | <b>15</b> |
| 4.1      | Schematizace řešeného problému  | 15        |
| 4.2      | Posouzení vlivu nestacionarity proudění   | 15        |
| 4.3      | Způsob zadávání OP a PP   | 15        |
| <b>5</b> | <b>Popis numerického modelu</b>   | <b>16</b> |
| 5.1      | Použité programové vybavení   | 16        |
| 5.2      | Vstupní data numerického modelu   | 16        |
| 5.2.1    | Morfologie vodního toku a záplavového území   | 16        |
| 5.2.2    | Drsnosti hlavního koryta a inundačních území  | 17        |
| 5.2.3    | Hodnoty okrajových podmínek   | 17        |
| 5.2.4    | Hodnoty počátečních podmínek  | 17        |
| 5.2.5    | Diskuze k nejistotám a úplnosti vstupních dat   | 17        |
| 5.3      | Popis kalibrace modelu  | 18        |
| <b>6</b> | <b>Výstupy z modelu</b>   | <b>19</b> |
| 6.1      | Záplavové čáry pro průtoky $Q_5$ , $Q_{20}$ , $Q_{100}$ a $Q_{500}$                         | 22        |
| 6.2      | Hloubky pro průtoky $Q_5$ , $Q_{20}$ , $Q_{100}$ a $Q_{500}$                                | 22        |
| 6.3      | Rychlosti pro průtoky $Q_5$ , $Q_{20}$ , $Q_{100}$ a $Q_{500}$                              | 22        |
| 6.3.1    | Bodová vrstva průměrných celoprofilových rychlostí  | 23        |

|       |   |    |
|-------|---|----|
| 6.3.2 | Plošné rozdělení rychlostí v inundaci .....     | 23 |
| 6.4   | Zhodnocení nejistot ve výsledcích výpočtů ..... | 23 |

## 1 Základní údaje

### 1.1 Seznam zkratek a symbolů

V následující tabulce č. 1.1 jsou abecedně seřazeny všechny zkratky a symboly použité při zpracování části B, Technická zpráva – hydrodynamické modely a mapy povodňového nebezpečí.

Tab. č. 1.1 Seznam zkratek a symbolů

| Zkratka   | Vysvětlení   |
|-----------|--|
| ČHMÚ      | Český hydrometeorologický ústav                              |
| DMT       | Digitální model terénu                                       |
| DOP       | Dolní okrajová podmínka                                      |
| DPI       | Rozlišení dané počtem bodů na jeden palec ( 2,5 cm)          |
| DMR 4G    | Digitální model reliéfu 4.generace                           |
| DMR 5G    | Digitální model reliéfu 5.generace                           |
| GIS       | Geografické informační systémy                               |
| IDVT CEVT | Identifikátor vodního toku v Centrální evidenci vodních toků |
| SOP       | Studie odtokových poměrů                                     |
| LG        | Limnigraf  |
| ZÚ        | Záplavová území  |
| ZM10      | Základní mapa 1:10 000                                       |

### 1.2 Cíle prací

Cílem prací je vyjádření povodňového nebezpečí na základě stanovení těchto charakteristik průběhu povodně:

- hranice rozливů,
- hloubky vody v záplavovém území,
- rychlosti proudění vody v záplavovém území.

Podstatou vyjádření povodňového nebezpečí je určení prostorového rozdělení uvedených charakteristik povodně a zpracování těchto údajů do podoby tzv. map povodňového nebezpečí. Ty slouží v dalším kroku jako podklad pro vyjádření povodňového rizika semikvantitativní metodou uvedenou v „Metodice tvorby map povodňového nebezpečí a povodňových rizik“.

### 1.3 Předmět práce

Předmět práce zahrnuje tyto činnosti:

- popis postupů souvisejících se zajistěním vstupních podkladů – stávající + nové (dodatečné zaměření profilů, objektů atd.),
- sestavení (aktualizace) hydrodynamických modelů a příslušné simulace,
- zpracování výsledků numerického modelování a vytvoření map povodňového nebezpečí (mapy rozливů, hloubek a rychlostí).

### 1.4 Postup zpracování a metoda řešení

Výchozím podkladem pro zpracování studie byla data ze studie „Stanovení záplavového území Šporka“ provedené v listopadu 2005 firmou DHI Hydroinform a.s.

Po prostudování poskytnutých dat byl proveden terénní průzkum s cílem zjistit, zda geodetické zaměření je dostatečné nebo bude třeba provést dodatečné zaměření. V průběhu terénního průzkumu byla pořízena nová fotodokumentace.

V zájmovém území byla v intravilánu Nového Boru provedena rekonstrukce nekapacitního mostu Sp319 v ř. km 20,891. Z tohoto důvodu bylo provedeno nové geodetické zaměření mostu.

Na základě místního šetření bylo shledáno, že kromě této rekonstrukce mostu nedošlo od doby provádění studie v zájmovém území k žádným významným změnám v odtokových poměrech. Původní zaměření ze studie bylo prohlášeno za dostatečné a mimo nově zaměřený úsek toku nebylo nutné provádět žádné dodatečné zaměření.

S ohledem na 5- letou platnost hydrologických dat bylo nutné v zájmovém profilu hydrologická data (průtoky n-letých vod) vydávaných ČHMÚ nechat znova ověřit. U ověřených dat byly shledány zásadní změny průtoků, což vedlo k rozhodnutí prezentovat grafické výstupy nad aktualizovanou ZM 10. Pro výpočet byla použita původní trať ze zaměření z roku 2005 avšak s jinými okrajovými podmínkami vycházejícími ze změn průtoků v zájmovém profilu.

Hydraulické výpočty vodního toku včetně objektů a inundačního území byly provedeny pro  $Q_5$ ,  $Q_{20}$ ,  $Q_{100}$ ,  $Q_{500}$ . Získané výsledky byly jako bodová informace dále zpracovány pomocí nástrojů GIS nad výše zmíněným mapovým podkladem. V první řadě byly rozšířeny příčné profily tak, aby přesahovaly průběh záplavy  $Q_{500}$ , což bylo nezbytné pro tvorbu „Map hloubek“. Dále za pomoci vygenerovaných bodů z DMR 5G byly nad mapovým podkladem vyneseny průběhy záplavových čar a průběhy rychlostí. Průběhy obou typů čar byly upřesněny nad vytvořenou „Mapou hloubek“ z DMR 5G. Výsledky jsou prezentovány v podobě map povodňového nebezpečí v kapitole 6.

## 2 Popis zájmového území

Název vodního toku: Šporka

ID úseku IDVT CEVT: 10100280\_2

Číslo hydrologického pořadí vodního toku: 1-14-03-0540-0-00 (Ploučnice)

1-14-03-0570-0-00 (Šporka)  
1-14-03-0580-0-00 (Libchava)  
1-14-03-0590-0-00 (Šporka)  
1-14-03-0600-0-00 (Stružnický potok)  
1-14-03-0610-0-00 (Šporka)  
1-14-03-0620-0-00 (Ploučnice)

Úsek vodního toku: 18,80 – 19,80- ř. km

Významná vodní díla:

Významné přítoky: Skalický p., Libchava, Stružnický p.

Šporka (někdy uváděno Sporka<sup>1</sup>) je malý vodní tok, patřící do povodí Ploučnice na severu Čech. Celá délka vodního toku spadá do okresu Česká Lípa. Pramení pod Lužickými horami poblíž obce Polevsko a po 21,4 km končí jako přítok Ploučnice u České Lípy.

Pramení ve výšce 517 m n. m. severně od obce Polevsko a města Nový Bor, na území náležejícím pod CHKO Lužické hory a teče převážně na jih. Zprvu jako potůček obcí Polevsko, poté se stáčí na jihozápad, pokračuje Arnultovicemi a Novým Borem a již jako potok podtéká silnici č. 9 v úseku mezi Českou Lípou a Novým Borem. Poté teče na jih krajinou již patřící k Zákupské pahorkatině svým korytem obcí Skalice u České Lípy, za obcí se klikatí a vytváří četné meandry. Míjí obce Manušice a Častolovice patřící administrativně k České Lípě, pak se odvrací na západ k Horní Libchavě, pokračuje na jih přes Dolní Libchavu, kde podchází silnici 268. Poté podtéká železniční trať mířící z České Lípy do Děčína a severně nad českolipskou čtvrtí Dubice se vlévá v nadmořské výšce 242 m n. m. do Ploučnice. Plocha celého povodí je udána 70,1 km<sup>2</sup>.

Podklady:

Název vodního toku - zdroj VÚV TGM, 2011

ID úseku IDVT CEVT - zdroj Ministerstvo zemědělství, 2011

Číslo hydrologického pořadí vodního toku - zdroj ČHMÚ, 2013

Úsek vodního toku - zdroj Povodí Ohře, státní podnik, 2011

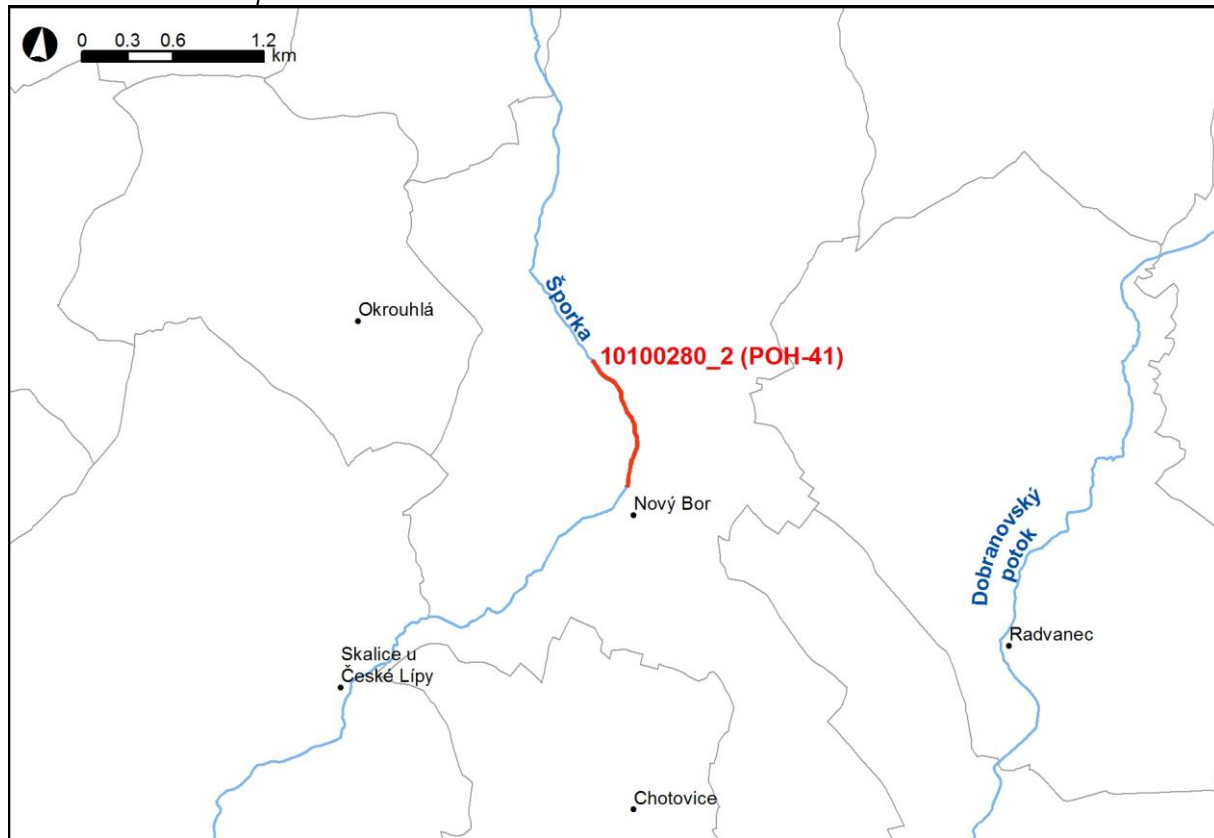
Významná vodní díla - zdroj ZM10, ČÚZK, 2012

Významné přítoky - zdroj ZM10, ČÚZK, 2012

Souhrnná technická zpráva „Stanovení záplavového území Šporka“, DHI Hydroinform a.s., listopad 2005

Wikipedie

Obr. č. 1 Přehledná mapa řešeného území



## 2.1 Všeobecné údaje

Šporka pramení 0,7 km východně od Polevska ve výšce 517 m n. m. a ústí zprava do Ploučnice pod Českou Lípou v 242 m n. m. Celková plocha povodí je 70 km<sup>2</sup>, délka vodního toku je 23 km a průměrný průtok na soutoku je 0,61 m<sup>3</sup>/s. Jedná se o vodohospodářsky významný vodní tok, který je veden v zastavěných oblastech převážně v upraveném korytě.

Koryto je v celé délce zájmového území upravené, jako obdélníkové. Kapacita této úpravy je větší než Q<sub>20</sub>. Při překročení kapacity koryta však dochází k širokému rozlivu.

Sklon vodního toku je poměrně rovnoměrný v rozmezí 2,0 % v dolní části úseku až po 2,7 % v úseku nad železnicí.

Rychlosť vody odpovídá sklonům a pohybuje se v rozmezí 1,7 m/s až 2,5 m/s, výjimečně překračuje 3 m/s.

Režim proudění je na hranici mezi říčním a bystřinným a lze předpokládat, že se bude relativně často měnit.

## 2.2 Průběhy historických povodní (největší zaznamenané povodně)

Zpracovatel předkládané studie prověřil informace o průběhu historických povodňových událostí. Problematika byla konzultována se správcem vodního toku. Na základě shromážděných informací lze konstatovat, že informace o průběhu povodní neexistují.

### 3 Přehled podkladů

V souladu s vyhláškou č. 236/2002 Sb. byly použity pro zpracování návrhu záplavového území tyto podklady. Pravidla pro citace podkladů se řídí dle ČSN ISO 690 (01 0197).

- Základní mapy 1 : 10 000 – digitální, rastrové – ZABAGED®, poskytlo Povodí Ohře, státní podnik, 2012
- Výskopisná data DMR 5G, copyright ČÚZK, MO ČR, MZe ČR, 2012
- Geodetické zaměření – přičné profily, podélný profil, provedla firma Aquageo 2005, doměření firma Hydrosoft Veleslavín 2011
- Výsledky hydraulické výpočtu nerovnoměrným prouděním (program Hydrocheck), 2012
- Hydrologická data: n-leté průtoky – ČHMÚ Ústí nad Labem 1.11.2011
- Hydrologické poměry ČSSR III. díl, HMÚ Praha, 1970
- Podrobný terénní průzkum zpracovatele, uskutečněný v lednu 2011 zaměřený na zmapování stavu koryta a břehů se zřetelem na místní překážky a další relevantní faktory
- Zákon č. 254/2001 Sb. - o vodách
- Vyhláška MŽP 236/2002 Sb. – o způsobu a rozsahu zpracování návrhu a stanovování záplavových území
- Geomorfologie Českých zemí, Jaromír Demek a kol., AC, 1965
- Vyšší geomorfologické jednotky České republiky, Český úřad zeměměřický a katastrální, Praha, 1996
- Metadata poskytnutá Zeměměřickým ústavem k aktuální verzi ZM 10, 2012
- Atlas podnebí ČSSR, ČHMÚ
- Wikipedie

#### 3.1 Topologická data

Topologická data jsou základním zdrojem, který je potřebný pro sestavení hydrodynamického modelu. Pomocí nich je možné popsat řešené území, sestavit digitální model terénu a vytvořit vhodnou schematizaci modelu. Jednotlivé topologické podklady jsou popsány v následujících kapitolách.

##### 3.1.1 Vytvoření (aktualizace) DMT

Digitální model terénu byl sestaven z Digitálního modelu reliéfu České Republiky 5. generace DMR 5G od ČÚZK. Sestavení DMT proběhlo v softwaru společnosti ESRI v ArcGIS pomocí extenze 3D Analyst. DMT byl vygenerován ve formátu ESRI tin, který se převedl do formátu georeferencovaný tif s velikostí pixelu 2 x 2 m.

Ke zpracování DMT bylo použito DMR 5G ve verzi k 12.1.2012.

##### 3.1.2 Mapové podklady

Pro potřeby studie byla vybrána Základní mapa České republiky 1:10 000 (ZM 10) aktualizovaná Zeměměřickým úřadem v roce 2011. Jedná se o nejpodrobnější základní mapu středního měřítka.

ZM 10 obsahuje polohopis, výskopis a popis. Předmětem polohopisu jsou sídla a jednotlivé objekty, komunikace, vodstvo, hranice správních jednotek a katastrálních území (včetně územně technických jednotek), hranice chráněných území, body polohového a výškového bodového pole, porost a povrch půdy. Předmětem výskopisu je terénní reliéf zobrazený vrstevnicemi a terénními stupni. Popis mapy sestává z druhového označení objektů, standardizovaného geografického názvosloví, kót vrstevnic, výškových kót, rámových a mimorámových údajů. Obsahem mapových listů je i rovinář pravoúhlá souřadnicová síť a zeměpisná síť. Předměty obsahu mapy jsou znázorněny pouze na území České republiky. Míra generalizace polohopisu je na takové úrovni, že nedochází k rozsáhlejšímu spojování jednotlivých staveb do bloků a ke zjednodušování tvarů. Mapa tak poskytuje velmi podrobnou představu o zobrazovaném území.

Data ZM 10 se stavem aktualizace v roce 2009 a dříve byly odvozovány z vektorových výstupů, které vznikaly v průběhu tvorby vizualizací ZABAGED®. Jejich rasterizaci a následnou transformací do souřadnicového systému

S-JTSK vznikl obraz státního území, který byl strukturovaný po listech ZM 10. Dalším zpracováním byla pořízena barevná bezešvá rastrová mapa s barevnou hloubkou 4 bit, jednotnou barevnou paletou a hustotou 400 dpi. Z důvodu nižší kvality rozlišení těchto výstupů bylo v roce 2011 přistoupeno k nahrazení těchto souborů novými rastry, které vznikly přímým odvozením z tiskových podkladů ZM 10. Tyto rastry mají barevnou hloubku 24 bit a rozlišení 800 dpi. Data ZM 10 se stavem aktualizace v roce 2010 a později jsou odvozovány přímo z postscriptových souborů nové technologické linky. Tyto soubory jsou službou aplikačního serveru rastrovány s rozlišením 800 dpi, barevnou hloubkou 8 bit a jednotnou barevnou paletou. Do doby pokrytí celého území ČR soubory z nové technologické linky budou uživatelům poskytovány vždy obě datové sady. Tvorbu a aktualizaci ZM 10 zajišťuje Zeměměřický úřad.

ZM 10 je distribuována ve formátu TIF po segmentech bezešvé mapy – čtvercích 2 x 2 km, se stranami rovnoběžnými se souřadnicovými osami S-JTSK. Kromě grafického umisťovacího souboru je dodáván textový umisťovací soubor TFW a to pro zobrazení S-JTSK / Krovak EN. Tento soubor obsahuje souřadnice levého horního rohu umisťovacího čtverce a velikost pixlu v metrech pro dané rozlišení souboru. Předané soubory TIF mají rozlišení 3149 x 3149 (72DPI).

### 3.1.3 Geodetické podklady

Jak již bylo zmíněno v kapitole 1.4, bylo nutné provést nové geodetické zaměření mostu Sp319 v ř. km 20,891, které prováděla společnost Hydrossoft Veleslavín v roce 2011. Při stavbě modelu bylo dále použito zaměření z původní studie provedené firmou Aquageo v.o.s. v červnu 2005. Pro přesnější vynesení průběhu záplavových čar byla k dispozici data z leteckého snímkování DMR 5G, která poskytlo Povodí Ohře, státní podnik.

Jiné výskopisné podklady nebyly pro zpracování studie k dispozici.

## 3.2 Hydrologická data

Název hydrologického profilu: nad Skalickým p.

Datum pořízení: 11.1.2011

Říční kilometr: 17,287 ř. km

Třída přesnosti dle ČSN 75 1400: III.

Velikost plochy povodí k profilu: 11,4km<sup>2</sup>

Číslo hydrologického povodí: 1-14-03-0540-0-00 (Ploučnice)

1-14-03-0570-0-00 (Šporka)

1-14-03-0580-0-00 (Libchava)

1-14-03-0590-0-00 (Šporka)

1-14-03-0600-0-00 (Stružnický potok)

1-14-03-0610-0-00 (Šporka)

1-14-03-0620-0-00 (Ploučnice)

N-leté průtoky: viz tabulka č. 3.1

N-leté průtoky porovnání: viz tabulka č. 3.2

Tab. č. 3.1 N-leté průtoky ( $Q_N$ ) v  $m^3.s^{-1}$

| Hydrologický profil | Datum pořízení | Říční kilometr | $Q_5$ | $Q_{20}$ | $Q_{100}$ | $Q_{500}$ | Třída přesnosti |
|---------------------|----------------|----------------|-------|----------|-----------|-----------|-----------------|
| nad Skalickým p.    | 1.11.2011      | 17,287         | 7,95  | 13,1     | 20,5      | 30        | III.            |

Tab. č. 3.2 Porovnání N-letých průtoků platných a z původní studie ( $Q_N$ ) v  $\text{m}^3\cdot\text{s}^{-1}$   
nad Skalickým p.

| Vodní tok | N-leté průtoky ( $Q_N$ ) v $\text{m}^3\cdot\text{s}^{-1}$ |      |       |      |      |      |      |     | datum předání |
|-----------|---|------|-------|------|------|------|------|-----|---------------|
|           | 1   | 2    | 5     | 10   | 20   | 50   | 100  | 500 |               |
| Šporka    | 3,47  | 5,19 | 7,95  | 10,4 | 13,1 | 17,1 | 20,5 | 30  | 25.10.2011    |
|           | 3,9   | 5,4  | 8     | 9,9  | 12,1 | 15,1 | 17,7 |     | květen 2005   |
| %         | -11,03  | -3,9 | -0,62 | 5,05 | 8,3  | 13,2 | 15,8 |     |               |

Z výše uvedené tabulky vyplývá (žlutě vyznačeno zvýšení, zeleně vyznačeno snížení průtoku), že hodnoty průtoků oproti původním hydrologickým datům se změnily v průměru o 10%, což dalo podnět k vynášení všech záplavových čar nad aktuálním rastrem.

### 3.2.1. Hydrologické poměry a jejich interpretace ve výpočtovém modelu

Pro zpracování studie byly použity základní hydrologické údaje ČHMÚ. V souladu s podmínkami zadání provedl řešitel zpřesnění hydraulických výpočtů vložením profilů se změnami hydrologických údajů viz tab. č. 3.3. Tato data byla získána interpolací z výše uvedených údajů ČHMÚ podle dílčích ploch povodí. Uvedené údaje velkých vod byly uplatněny ve výpočtovém modelu prostřednictvím tzv. hodnot delta Q (dále jen dQ). Hodnoty delta Q jsou rozdíly příslušných průtoků v jednotlivých uvedených profilech a reprezentují tedy úbytky průtoků v nich. Tyto změny průtoků jsou uvedeny v psaném podélém profilu a jsou součástí výpočtového modelu Hydrocheck.

Tab. č. 3.3 Rekapitulace rozdělení hydrologických dat ve výpočtovém modelu

| zdroj           | Profil           | od - do         | N-leté průtoky ( $Q_N$ ) v $\text{m}^3\cdot\text{s}^{-1}$ |      |      |      |      |      |      |      |
|-----------------|------------------|-----------------|---|------|------|------|------|------|------|------|
|                 |                  | ř.km            | 1   | 2    | 5    | 10   | 20   | 50   | 100  | 500  |
| Q               | nad Skalickým p. | 17,287 – 18,715 | 3,47  | 5,19 | 7,95 | 10,4 | 13,1 | 17,1 | 20,5 | 30   |
| dQ <sub>1</sub> | nad přítokem 2   | 18,715 – 20,891 | 2,98  | 4,47 | 6,81 | 8,9  | 11,2 | 14,7 | 17,5 | 25,7 |
| dQ <sub>2</sub> | nad přítokem 1   | 20,891 – 21,033 | 2,14  | 3,23 | 4,85 | 6,4  | 8    | 10,5 | 12,5 | 18,3 |

V tomto případě byly interpolací získány hodnoty pro N-leté průtoky v profilech „nad přítokem 2“ a „nad přítokem 1“, hodnoty v profilu „nad Skalickým p.“ jsou základní hydrologické údaje ČHMÚ.

## 3.3 Místní šetření

Místní šetření proběhlo 23.1.2011 a byla zpracována podrobná fotodokumentace. Každá fotografie je časově a prostorově lokalizovaná. Součástí fotodokumentace jsou i fotky ze starších studií. Lokalizace starší fotodokumentace nebyla dodatečně prováděna, v některých případech ale byly i starší fotky lokalizované.

Cílem místního šetření bylo:

- posouzení nutnosti doplňujícího geodetického zaměření. V případech rekonstrukcí objektů či vlastního koryta či jakékoli změn v korytě či inundacním území bylo posuzováno, zadali je, nebo není potřeba provést nové zaměření. Výsledek šetření je popsán v kapitole 3.1.3 Geodetické podklady.
- posouzení drsnostních charakteristik. Cílem průzkumu bylo mimo jiné i posouzení drsnostních charakteristik, zejména v inundaci, kde se odtokové parametry mohly změnit novou výstavbou. Dále bylo potřeba určit drsnostní charakteristiky v území potenciálně zaplaveném povodní  $Q_{500}$ .
- posouzení morfologie terénu z pohledu průtoku  $Q_{500}$ . Bylo nutné rozhodnout, zdali bude nutné rozširovat profily původního modelu, či nikoliv. Ne vždy se celá se inundace podílí na průtoku. Na základě průzkumu byly některé profily v době sestavování modelu, proti původní studii rozširovány z výškopisu DMR 5G.
- posouzení objektů z pohledu průtoku  $Q_{500}$ . Původní modely nepočítaly s tak velkým průtokem. Bylo tedy nutné posoudit průtokové parametry objektů i při této extrémní povodni. U některých objektů byly na základě pořízené fotodokumentace upraveny průtokové koeficienty či další parametry objektu, například rozsah zasahování mostovky do průtočného profilu.

e) posouzení ohrožení zaplavovaného území povodní. Tato část průzkumu měla za úkol pořídit fotodokumentaci ohrožených objektů v inundaci tak, aby později bylo možné rozhodovat, zda a v jakém rozsahu bude nemovitost ohrožena. Jedná se zde ale o doplňkovou informaci pro analýzy v GIS a v žádném případě se nejedná o evidenci a podrobnou dokumentaci jednotlivých objektů zasažených vodou.

Při stavbě modelu pak byla pořízená fotodokumentace významným nástrojem pro rozhodování kde a jak model upravovat.

### **3.4 Doplňující podklady – technické a provozní informace, zprávy, studie, dokumenty, literatura**

V průběhu zpracování nebyly poskytnuty žádné další podklady.

### **3.5 Normy, zákony, vyhlášky**

Postupy zpracování studie byly v souladu s níže uvedenými dokumenty v jejich platném znění:

- [1] ČSN 75 0110 Vodní hospodářství – Terminologie hydrologie a hydroekologie
- [2] ČSN 75 1400 Hydrologické údaje povrchových vod.
- [3] ČSN 75 2410 Malé vodní nádrže.
- [4] Zákon č. 240/2000 Sb. o krizovém řízení a změně některých zákonů (krizový zákon).
- [5] Nařízení vlády č. 462/2000 Sb., k provedení §27 odst. 8 a §28 odst. 5 zákona č. 240/2000 Sb., o krizovém řízení a o změně některých zákonů (krizový zákon).
- [6] Vyhláška MŽP 236/2002 Sb., o způsobu a rozsahu zpracovávání návrhu a stanovování záplavových území.
- [7] Vyhláška č. 178/2012 Sb., kterou se stanoví seznam významných vodních toků a způsob provádění činností souvisejících se správou vodních toků.
- [8] Zákon č. 114/1992 Sb., o ochraně přírody a krajiny.

### **3.6 Vyhodnocení a příprava podkladů**

Poskytnuté podklady plně pokryly zájmové území. Původní profily musely být místy rozšířeny, protože v původní studii nebyl řešen průtok  $Q_{500}$ . Pro rozšíření profilů bylo použito podkladu DMR 5G, jehož přesnost je pro potřeby modelu v okrajových částech inundace dostatečná.

## 4 Popis koncepčního modelu

Základním požadavkem na zpracování záplavových území je provádění výpočtů metodou ustáleného nerovnoměrného proudění. Pro tento typ výpočtů je vhodný program HYDROCHECK verze 5.X, který používáme.

Jedná se o programový prostředek vyvinutý společností Hydrosoft Veleslavín s.r.o. v devadesátých letech ve spolupráci s Podniky Povodí. Řeší ustálené nerovnoměrné proudění v otevřených neprizmatických korytech v režimových oblastech říčních i bystřinných. Základem řešení nerovnoměrného proudění je obecná metoda po úsecích. Významné objekty byly počítány funkčemi programu Hydrocheck jako objekty.

Program Hydrocheck verze 5.X je mimo jiné vhodným nástrojem pro posuzování aktivní zóny, či hodnocení map rizik, neboť umožňuje vyhodnocování svislicových rychlostí v příčném řezu. Díky tomu je možné vyhodnocovat rychlosti v inundaci a vytvářet mapu rychlostí jako plošnou informaci, nikoliv jen bodovou.

### 4.1 Schematizace řešeného problému

Schéma modelu je poměrně jednoduché. Koryto prochází prakticky v celém zájmovém úseku údolnicí a inundace není široká. Nebylo tedy nutné zpracovávat dílčí úseky vodního toku jako okruhovou síť. Vzdálenosti příčných profilů v intravilánu jsou cca 50 m, v extravilánu cca 200 až 250 metrů, v místech, kde to bylo potřeba hustěji.

### 4.2 Posouzení vlivu nestacionarity proudění

Vliv nestacionarity je ve výpočtech zanedbán. Studie je zpracována metodou stacionárního nerovnoměrného proudění, což je v souladu s požadavky objednatele.

### 4.3 Způsob zadávání OP a PP

Jelikož se jedná o výpočet ustáleného rovnoměrného proudění v říčním korytě, zadává se okrajová podmínka v dolním výpočtovém profilu v podobě hladiny a průtoku. V místě významných přítoků, pro které jsou k dispozici hydrologické údaje, se zadává změna průtoku. Jiné okrajové ani počáteční podmínky výpočtu se nezadávají.

## 5 Popis numerického modelu

### 5.1 Použité programové vybavení

Vlastní výpočty byly prováděny metodou ustáleného nerovnoměrného proudění v programu HYDROCHECK verze 5.X, který se osvědčil při výpočtech obdobných studií.

Základní výhodou programu HYDROCHECK verze 5.X je možnost rozdelení průtočného profilu na libovolné segmenty pomocí fiktivních svislic na vlastní koryto a přilehlé části inundace, ohraničené svislými rovinami, vedenými například v linii břehové hrany koryta. Jednotlivé části příčného profilu mají různou drsnost a s tím souvisí i různé rychlosti proudění a výsledná poloha hladiny vody v profilu. HYDROCHECK verze 5.X umožňuje zobrazit podrobné rozdelení rychlostí v příčném profilu tak i rozdelení aktivní zóny v příčném profilu.

Pro výpočty konzumpčních křivek významných objektů byl použit nástroj - výpočty objektů, který je nyní přímou součástí programu HYDROCHECK verze 5.X.

Kromě metody nerovnoměrného proudění bývá užíváno i nástrojů rovnoměrného proudění pro stanovení konzumpční křivky dolní okrajové podmínky.

Pro vynášení záplavových čar z vypočtených úrovní hladin do mapového podkladu je využíváno funkcí HYDROCHECKu verze 5.X, který generuje vypočtené průsečíky hladin v profilech do mapy.

### 5.2 Vstupní data numerického modelu

Základem prací na studii je podrobný terénní průzkum. Na základě terénního průzkumu a kvalitní fotodokumentace jsou určeny drsnostní charakteristiky a později vynášeny záplavové čáry a aktivní zóna.

Podkladem pro práci bylo podrobné geodetické zaměření v rozsahu potřebném pro jednorozměrný matematický model, tedy příčné a údolní profily a veškeré objekty. Kromě toho byly pro vynášení záplavové čáry a aktivní zóny použity všechny měřené body v rámci TPE.

Základním prvkem zadání je příčný profil - jeho geometrický tvar a rozměry, včetně součinitele drsnosti omočeného profilu.

Průtočný profil je možno rozdělit pomocí fiktivních svislic na vlastní koryto a přilehlé části inundace, ohraničené svislými rovinami, vedenými například v linii břehové hrany koryta. Jednotlivé části příčného profilu mají různou drsnost a s tím souvisí i různé rychlosti proudění a výsledná poloha hladiny vody v profilu.

Na základě fotodokumentace a poznámek získaných při rekognoskaci terénu byly voleny hodnoty Manningova drsnostního součinitele n pro jednotlivé části omočeného profilu.

Kromě vytvoření geometrického modelu říční sítě včetně objektů je pro simulace nerovnoměrného proudění nutné zadat okrajové podmínky. Jedná se především o průtok a označení počátečního (popřípadě koncového) profilu, ve kterém má být průběh proudění řešen. Dále se zadává hladina v počátečním profilu, pokud není zvolen režim jejího automatického výpočtu z konzumpční křivky.

#### 5.2.1 Morfologie vodního toku a záplavového území

V tomto úseku je Šporka vedena upraveným korytem, kapacita koryta se zde pohybuje mezi  $Q_{20}$  a  $Q_{100}$ . V úseku se nachází velké množství lávek a mostků, které nemají dostatečnou kapacitu.

V profilu PF 319 docházelo při  $Q_{100}$  vlivem nekapacitní lávky k vybřežení na pravobřežní komunikaci po které voda proudí a do koryta se vrací až pod hlavní komunikaci v PF 303. Po rekonstrukci této lávky se situace kolem lávky výrazně zlepšila, ale k rozlivu dojde o několik profilů níže, pod železničním mostem.

Vlastní centrum Nového Boru mezi profily Sp303 a Sp314 je při  $Q_{100}$  zaplavováno v celé šířce inundace na obou březích.

### 5.2.2 Drsnosti hlavního koryta a inundačních území

Program Hydrocheck verze 5.X umožňuje zadávání drsností nepřímo pomocí kódů, proto byl změněn způsob práce s drsnostmi. Dříve bylo jen velmi těžké měnit bodové drsnosti v profilech, z tohoto důvodu byly vyplňovány bodové drsnosti pouze mimo koryto a v korytě byla používána globální drsnost, kterou bylo možné v celém úseku trati snadno změnit.

Nyní byly vyplňovány všechny drsnosti v celém příčném profilu a snadná možnost korigovat drsnosti během výpočtu zůstává zachována.

Použité drsnosti jsou uvedeny v tabulkách 5.1 a 5.2. Podrobné informace o použitých drsnostech v příčných profilech najdete ve výpisu výpočtové trati.

Tab. č. 5.1 Použité drsnosti dle Manninga v korytě

| Popis                | n             |
|----------------------|---------------|
| Beton v dobrém stavu | 0,020         |
| Beton starý          | 0,035         |
| dlažba               | 0,025 - 0,045 |
| tráva                | 0,035 - 0,045 |
| keře                 | 0,060 - 0,090 |

Tab. č. 5.2 Použité drsnosti dle Manninga v inundačním území

| Popis                            | n                                      |
|----------------------------------|--|
| silnice chodníky - asfalt, beton | 0,020 - 0,025                          |
| cesta                            | 0,035 - 0,040                          |
| louky, pole                      | 0,035 - 0,045                          |
| stromy, keře                     | 0,060 - 0,120                          |
| hustý porost                     | 0,120 - 0,160                          |
| zahrady s ploty, zástavba        | 0,160 - 0,200 nebo vypuštěné z výpočtu |

### 5.2.3 Hodnoty okrajových podmínek

Dolní okrajová podmínka byla stanovena v počátečním profilu řešeného úseku – Sp297\_M, ř. km 20,064 Pro řešený úsek jsou k dispozici průtoky pro  $Q_5$ ,  $Q_{20}$ ,  $Q_{100}$  a  $Q_{500}$ . Jejich hodnoty jsou v následující tabulce č. 5.3. Hladiny k nim byly určeny z výsledků původní studie a lze je odečíst z výsledného výpočtového modelu.

Tab. č. 5.3 N-leté povodňové průtoky uvažované při hydraulickém řešení

| profil DOP/ N- leté průtoky $Q_N$ | Úsek toku (km od - do) | $Q_5$ | $Q_{20}$ | $Q_{100}$ | $Q_{500}$ | Poznámka |
|-----------------------------------|------------------------|-------|----------|-----------|-----------|----------|
| profil Sp297_M, ř. km 20,064      | 20,064 – 21,033        | 6,81  | 11,2     | 17,5      | 25,7      |          |

### 5.2.4 Hodnoty počátečních podmínek

Jak již bylo řečeno dříve, počáteční podmínky se v případě ustáleného nerovnoměrného proudění nezadávají.

### 5.2.5 Diskuze k nejistotám a úplnosti vstupních dat

Vstupní data byla pro zpracování studie dostatečná.

### 5.3 Popis kalibrace modelu

Pro kalibraci modelu nebyly k dispozici žádné povodňové značky, ani jiné údaje.

## 6 Výstupy z modelu

Hlavním výstupem z matematického modelu je psaný podélní profil, jež je zpracován pro všechny průtokové epizody a jež je hlavním nástrojem pro tvorbu záplavových čar. Psaný podélní profil kromě vypočtené úrovně hladiny obsahuje i informaci o výšce dna (nejhlubší dno), úroveň levého a pravého břehu (břehová hrana) a dále úrovně spodní hrany mostovky mostních objektů. Profil je doplněn o poznámku, upřesňující umístění daného příčného řezu.

Psaný podélní profil je uveden na následující stránce.

Tab. č. 6.1 Výpočet úrovně hladin

| Profil      | Staničení<br>ř.km | Kóta dna | Levý<br>břeh | Pravý<br>břeh | Hl. Q <sub>5</sub> | Q <sub>5</sub>      | Hl. Q <sub>20</sub> | Q <sub>20</sub>     | Hl. Q <sub>100</sub> | Q <sub>100</sub>    | Hl.Q <sub>500</sub> | Q <sub>500</sub>    | Kóta<br>mostovky | Popis objektu |
|-------------|-------------------|----------|--------------|---------------|--------------------|---------------------|---------------------|---------------------|----------------------|---------------------|---------------------|---------------------|------------------|---------------|
|             | [km]              | [m n.m.] | [m n.m.]     | [m n.m.]      | [m n.m.]           | [m <sup>3</sup> /s] | [m n.m.]            | [m <sup>3</sup> /s] | [m n.m.]             | [m <sup>3</sup> /s] | [m n.m.]            | [m <sup>3</sup> /s] | [m n.m.]         |               |
| Sp297_M     | 20,069            | 357,00   | 359,59       | 359,59        | 357,86             | 6,8                 | 358,17              | 11,2                | 358,48               | 17,5                | 358,73              | 25,7                | 358,80           | mostek        |
| Sp298       | 20,098            | 357,60   | 359,70       | 359,65        | 358,33             | 6,8                 | 358,59              | 11,2                | 359,06               | 17,5                | 359,70              | 25,7                |                  |               |
| Sp299_St    | 20,143            | 358,42   | 360,31       | 360,29        | 359,60             | 6,8                 | 359,92              | 11,2                | 360,14               | 17,5                | 360,48              | 25,7                |                  |               |
| Sp300       | 20,161            | 359,04   | 360,69       | 360,54        | 359,98             | 6,8                 | 360,25              | 11,2                | 360,57               | 17,5                | 360,92              | 25,7                |                  |               |
| Sp301       | 20,199            | 359,85   | 361,15       | 361,38        | 360,57             | 6,8                 | 360,88              | 11,2                | 361,27               | 17,5                | 361,70              | 25,7                |                  |               |
| Sp302       | 20,263            | 360,84   | 362,27       | 362,38        | 361,70             | 6,8                 | 361,89              | 11,2                | 362,22               | 17,5                | 362,46              | 25,7                |                  |               |
| Sp303_M     | 20,307            | 361,44   | 363,67       | 363,69        | 362,30             | 6,8                 | 362,59              | 11,2                | 362,95               | 17,5                | 363,30              | 25,7                | 362,87           | mostek        |
| Sp304_L     | 20,335            | 361,97   | 363,79       | 363,75        | 362,96             | 6,8                 | 363,29              | 11,2                | 363,62               | 17,5                | 363,99              | 25,7                | 363,74           | lávka         |
| Sp305_M     | 20,359            | 362,28   | 364,56       | 364,56        | 363,45             | 6,8                 | 363,88              | 11,2                | 364,25               | 17,5                | 364,47              | 25,7                | 364,17           | mostek        |
| Sp306_hr    | 20,401            | 362,98   | 365,16       | 364,85        | 364,06             | 6,8                 | 364,44              | 11,2                | 364,88               | 17,5                | 365,10              | 25,7                |                  |               |
| Sp307_St    | 20,434            | 363,95   | 365,36       | 365,62        | 365,07             | 6,8                 | 365,42              | 11,2                | 365,82               | 17,5                | 366,26              | 25,7                |                  |               |
| Sp308_St    | 20,509            | 366,03   | 367,90       | 367,76        | 368,28             | 6,8                 | 367,89              | 11,2                | 367,51               | 17,5                | 367,13              | 25,7                |                  |               |
| Sp309_M     | 20,572            | 367,48   | 369,50       | 369,52        | 368,64             | 6,8                 | 368,99              | 11,2                | 369,32               | 17,5                | 369,59              | 25,7                | 369,15           | mostek        |
| Sp310_vytok | 20,629            | 368,30   | 370,50       | 370,47        | 369,54             | 6,8                 | 370,02              | 11,2                | 370,44               | 17,5                | 370,85              | 25,7                |                  |               |
| Sp310_M     | 20,634            | 368,47   | 370,64       | 370,64        | 369,78             | 6,8                 | 370,41              | 11,2                | 370,86               | 17,5                | 371,25              | 25,7                | 370,38           | mostek        |
| Sp311_vtok  | 20,639            | 368,47   | 370,64       | 370,64        | 369,78             | 6,8                 | 370,41              | 11,2                | 370,86               | 17,5                | 371,25              | 25,7                |                  |               |
| Sp312_St    | 20,657            | 369,30   | 370,95       | 371,00        | 370,62             | 6,8                 | 370,91              | 11,2                | 371,18               | 17,5                | 371,47              | 25,7                |                  |               |
| Sp313_M     | 20,761            | 371,85   | 373,82       | 373,81        | 373,00             | 6,8                 | 373,77              | 11,2                | 374,10               | 17,5                | 374,42              | 25,7                | 373,32           | mostek        |
| Sp314_St    | 20,766            | 372,06   | 373,96       | 373,95        | 373,08             | 6,8                 | 373,77              | 11,2                | 374,20               | 17,5                | 374,47              | 25,7                |                  | stupeň        |
| Sp315_L     | 20,818            | 373,61   | 375,85       | 375,85        | 374,35             | 6,8                 | 374,63              | 11,2                | 374,98               | 17,5                | 375,37              | 25,7                | 375,65           | lávka         |
| Sp316_MZ    | 20,828            | 373,61   | 375,61       | 375,60        | 375,06             | 6,8                 | 375,32              | 11,2                | 375,51               | 17,5                | 375,69              | 25,7                | 375,09           | mostek        |
| Sp317_L     | 20,831            | 373,54   | 376,22       | 376,23        | 375,07             | 6,8                 | 375,32              | 11,2                | 375,51               | 17,5                | 375,69              | 25,7                | 375,99           | lávka         |
| PR101       | 20,875            | 374,56   | 377,16       | 376,68        | 375,66             | 6,8                 | 375,99              | 11,2                | 376,39               | 17,5                | 376,75              | 25,7                |                  |               |
| PR102_M     | 20,888            | 374,81   | 377,14       | 376,93        | 375,88             | 6,8                 | 376,24              | 11,2                | 376,63               | 17,5                | 377,11              | 25,7                | 376,45           | most          |
| PR103       | 20,889            | 375,00   | 377,42       | 376,89        | 375,88             | 6,8                 | 376,24              | 11,2                | 376,63               | 17,5                | 377,11              | 25,7                |                  |               |
| Sp319_Stav  | 20,891            | 375,00   | 376,00       | 375,93        | 375,92             | 6,8                 | 376,28              | 11,2                | 376,68               | 17,5                | 377,16              | 25,7                |                  |               |
| Sp320_L     | 20,911            | 375,85   | 377,89       | 377,92        | 376,52             | 4,9                 | 376,94              | 8,0                 | 377,43               | 12,5                | 377,81              | 18,3                | 377,78           | lávka         |
| Sp321_L     | 20,929            | 375,85   | 377,89       | 377,92        | 376,66             | 4,9                 | 377,05              | 8,0                 | 377,54               | 12,5                | 377,94              | 18,3                | 377,78           | lávka         |
| Sp322_L     | 20,955            | 376,42   | 378,48       | 378,51        | 377,30             | 4,9                 | 377,71              | 8,0                 | 378,22               | 12,5                | 378,77              | 18,3                | 378,14           | lávka         |
| Sp323_St    | 20,965            | 376,91   | 378,78       | 378,79        | 377,98             | 4,9                 | 378,33              | 8,0                 | 378,77               | 12,5                | 379,17              | 18,3                |                  | stupeň        |

**ZPRACOVÁNÍ MAP POVODŇOVÉHO NEBEZPEČÍ A POVODŇOVÝCH RIZIK PRO OBLAST POVODÍ OHŘE A DOLNÍHO LABĚ**  
**B. TECHNICKÁ ZPRÁVA – HYDRODYNAMICKÉ MODELY A MAPY POVODNOVÉHO NEBEZPEČÍ**

---

| Profil  | Staničení ř.km | Kóta dna | Levý břeh | Pravý břeh | Hl. Q <sub>5</sub> | Q <sub>5</sub>      | Hl. Q <sub>20</sub> | Q <sub>20</sub>     | Hl. Q <sub>100</sub> | Q <sub>100</sub>    | Hl.Q <sub>500</sub> | Q <sub>500</sub>    | Kóta mostovky | Popis objektu |
|---------|----------------|----------|-----------|------------|--------------------|---------------------|---------------------|---------------------|----------------------|---------------------|---------------------|---------------------|---------------|---------------|
|         | [km]           | [m n.m.] | [m n.m.]  | [m n.m.]   | [m n.m.]           | [m <sup>3</sup> /s] | [m n.m.]            | [m <sup>3</sup> /s] | [m n.m.]             | [m <sup>3</sup> /s] | [m n.m.]            | [m <sup>3</sup> /s] | [m n.m.]      |               |
| Sp324_L | 20,998         | 377,81   | 380,08    | 380,04     | 378,93             | 4,9                 | 379,19              | 8,0                 | 379,47               | 12,5                | 379,81              | 18,3                | 379,84        | lávka         |
| Sp325_M | 21,028         | 378,86   | 381,30    | 381,39     | 379,94             | 4,9                 | 380,33              | 8,0                 | 380,86               | 12,5                | 381,30              | 18,3                | 379,98        | mostek        |
| Sp326_L | 21,033         | 378,95   | 381,40    | 381,33     | 379,95             | 4,9                 | 380,34              | 8,0                 | 380,86               | 12,5                | 381,31              | 18,3                | 381,13        | lávka         |

## 6.1 Záplavové čáry pro průtoky $Q_5$ , $Q_{20}$ , $Q_{100}$ a $Q_{500}$

Z vypočítaných úrovní hladiny v jednotlivých profilech byl interpretován průběh záplavové čáry. Z tohoto znázornění a z průběhu hladin v podélném profilu je patrný rozsah zatápěných ploch a objektů. Dále se tímto způsobem zjistí překážky průtoku, které působí patrné vzdutí hladiny, jejichž odstraněním nebo rekonstrukcí je možno rozsah zátop redukovat.

Záplavové čáry byly vyneseny na podkladě rastrové Základní mapy ČR v měřítku 1 : 10 000. Zakreslení záplavových čar, zejména mimo zaměřené příčné profily, zahrnuje nepřesnosti použité mapy. Snahou vyeliminovat nepřesnosti je užití bodového pole z DMT mimo zaměřené příčné profily. Při posouzení konkrétního místa je tedy rozhodující kóta hladiny odvozená z podélného profilu a skutečná nadmořská výška terénu posuzovaného místa.

Při aplikaci výsledků výpočtu je nutno si uvědomit, že přírodní třírozměrný v čase proměnný děj je popisován stacionárním jednorozměrným matematickým výpočtem s použitím mnoha zjednodušujících předpokladů a odhadů. Přesnost výpočtu je limitována zejména hustotou příčných profilů použitych k výpočtu a odhadem drsnostního součinitele.

Hodnoty úrovně hladin získané interpolací mezi jednotlivými výpočtovými příčnými profily nemusí odpovídat skutečnosti.

Nejsou zde postiženy jevy běžně se vyskytující při povodních - hladina v inundaci nemusí být v jednom příčném profilu stejná jako v korytě, v obloucích dochází k příčnému převýšení hladiny, hladina je rozvlněná, atd.

Výpočet je proveden pro ideální stav koryta. Není započítáno upcpání průtočného profilu plaveným materiélem, které hrozí zejména v mostních profilech. Vliv na proudění má i sezónní stav vegetačního pokryvu.

Výsledky tohoto výpočtu nejsou neměnné. Může dojít ke změnám vlivem zpřesnění topografických podkladů, změny hydrologických údajů, použitím přesnějších výpočetních modelů, nebo vlivem změn v průtočném profilu vodního toku.

Analýzou průniku maximálního rozlivu (při průtoku  $Q_{500}$ ) a správních území byly zajištěny informace o dotčených správních území obcí uvedené v následující tabulce.

Tab. č. 6.2 Dotčené správní území obcí maximálním rozlivem

| Kód ORP | Název ORP  | Kód ICOB | Název obce     |
|---------|------------|----------|----------------|
| 5101    | Česká Lípa | 561380   | Česká Lípa     |
| 5101    | Česká Lípa | 561592   | Horní Libchava |

## 6.2 Hloubky pro průtoky $Q_5$ , $Q_{20}$ , $Q_{100}$ a $Q_{500}$

Určení hloubek pro jednotlivé povodňové scénáře je provedeno v prostředí ArcGIS, jako rozdíl digitálního modelu hladiny a digitálního modelu terénu. Digitální model hladiny byl vytvořen lineární interpolací hladin mezi jednotlivými příčnými profily, které byly převzaty z hydraulického modelu. Výsledkem je rastr hloubek o velikosti pixlu 2 x 2 m. Mapa hloubek se následně ořízne záplavovou čárou pro daný scénář.

## 6.3 Rychlosti pro průtoky $Q_5$ , $Q_{20}$ , $Q_{100}$ a $Q_{500}$

Pro hodnocení rizik vznikly ve studii dva samostatné výstupy vypočtených rychlostí a to vrstva bodová a plošná. Bodová vrstva slouží pro zobrazení v mapě rychlostí jako informace o průměrné celoprofilové rychlosti. Tato informace je však pro hodnocení rizik bezcenná, proto vznikla vrstva plošného rozdělení rychlostí. Ta pak bude použita pro další hodnocení.

### 6.3.1 Bodová vrstva průměrných celoprofilových rychlostí

Při výpočtu nerovnoměrného proudění byly z výpočetního programu Hydrocheck exportovány pro jednotlivé profily a jednotlivé průtokové epizody průměrné celoprofilové rychlosti. Takto získaná hodnota rychlosti pak byla v GIS přiřazena jako bodová informace průsečíku daného příčného řezu a osy vodního toku. Pro každý profil a jednu průtokovou epizodu tak byla získána informace o rychlosti, celkem tedy pro každý profil 4 hodnoty rychlosti ( $Q_5 - Q_{500}$ ).

### 6.3.2 Plošné rozdělení rychlostí v inundaci

Program Hydrocheck pracuje se svislicovými rychlostmi a dokáže do mapy zobrazit rozdělení rychlostí v příčném řezu. Pokud umístění a hustota příčných řezů dostatečně popisuje záplavové území, lze poměrně přesně určit i plošné rozdělení rychlostí v inundaci zvláště, když je při posuzování k dispozici mapa hloubek. Plošné rozdělení rychlostí vychází z těchto předpokladů:

- nezajímá nás rychlosť v korytě, ale pouze v inundaci
- pro hodnocení rizik nás nezajímá rychlosť menší než 1 m/s
- rychlosť je rozdělena po 0,5 m/s na kategorie 1,0 až 1,5 - 1,5 až 2,0 atd.

Na základě těchto předpokladů byly nad mapou vykresleny polygony rychlostí větších než 1 m/s. Tato plošná vrstva je podkladem pro další hodnocení rizik.

## 6.4 Zhodnocení nejistot ve výsledcích výpočtu

Jak bylo uvedeno výše, výpočetní model 1D je vždy schematizací skutečnosti. Hlavní míra nejistoty však neplyne ze špatného odhadu drsnostních charakteristik, nebo nedostatečně popsané topologie území a koryta, ale ze vstupních průtokových dat, jejichž přesnost je nezřídka v rozmezí  $\pm 40 - 60\%$  dle uvedené třídy přesnosti. Dalším již zmíněným faktorem, s ním model nepočítá, je množství plavenin, které postupují vodním tokem při povodni, ať už se jedná například o ledové kry nebo antropogenní materiál či dřevní hmotu. Tyto plaveniny, pak zejména v prostoru objektů mohou způsobit naprosto převratné změny průtočného profilu (částečné nebo úplné upřímnění), které pak mají na průběh hladiny zásadní vliv.

Pokud však odhlédneme od nejistot způsobených nepřesnými hydrologickými daty a budeme vztahovat rozsah záplavového území ke konkrétnímu průniku (a nikoliv k deklarované četnosti povodň) a budeme postupovat v souladu s Metodikou stanovení ZÚ, tedy výpočet bez plavenin, můžeme konstatovat, že vypovídací schopnost modelu je značně vysoká. Největší ovlivnění hladin nastává v místech objektů, jejichž nesprávné posouzení, či špatně provedený výpočet ve vztahu k zatopení dolní vodou, má na úroveň hladiny zásadní vliv. Poměrně významné je i ovlivnění výpočtu chybě umístěnými dílčími profily v příčném řezu, naopak chybý odhad drsnosti byť v řádu desítek procent se ve volné trati dramaticky neprojeví.